

Vérification formelle et optimisation de l'allocation de registres

Benoît Robillard

Laboratoire CEDRIC - Équipes CPR et OC

CNAM - ENSIIE



Soutenance de thèse

30 Novembre 2010

Machine

Code exécutable

Compilation et allocation de registres

Développeur

Code source

Machine

Code exécutable

Compilation et allocation de registres

Développeur

Code source

Compilation

Machine

Code exécutable

Compilation et allocation de registres

Développeur

Code source

Compilation

Machine

Code exécutable

Test

Compilation et allocation de registres

Développeur

Code source

Vérification formelle

Compilation

Machine

Code exécutable

Compilation et allocation de registres

Développeur

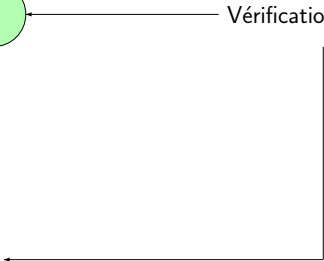
Code source

Vérification formelle

Compilation

Machine

Code exécutable



Compilation et allocation de registres

Développeur

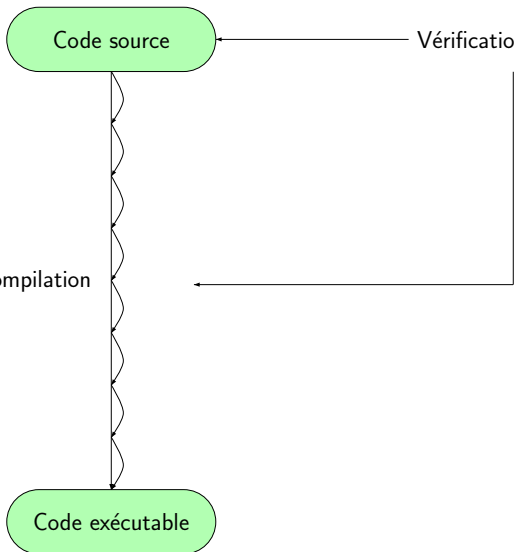
Code source

Vérification formelle

Compilation

Machine

Code exécutable



Compilation et allocation de registres

Développeur

Code source

} Variables

Compilation

Machine

Code exécutable

Compilation et allocation de registres

Développeur

Code source

Variables

Compilation

Emplacements
mémoire

Machine

Code exécutable

Compilation et allocation de registres

Développeur

Code source

Variables

Compilation

Allocation de registres

Emplacements
mémoire

Machine

Code exécutable

Deux types d'emplacements mémoire

- ① Les **registres**, accès rapide, nombre limité
- ② La **pile**, accès lent, très grande capacité

Deux types d'emplacements mémoire

- ① Les **registres**, accès rapide, nombre limité
- ② La **pile**, accès lent, très grande capacité

Allocation de registres

Transition d'un nombre quelconque de variables à un nombre fixé de registres

Deux types d'emplacements mémoire

- 1 Les **registres**, accès rapide, nombre limité
- 2 La **pile**, accès lent, très grande capacité

Allocation de registres

Transition d'un nombre quelconque de variables à un nombre fixé de registres

Question

Quelle variable placer dans quel emplacement mémoire à tout moment de l'exécution du programme ?

But







Utiliser au maximum les registres et au minimum la pile

Deux allocations de registres

```
int a = 9;  
int b = 5;  
int c = a + b;  
int d = b + c;  
int e = c + d;  
int r = a + e;
```

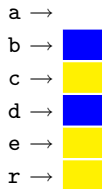
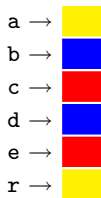
Deux allocations de registres

```
int a = 9;  
int b = 5;  
int c = a + b;  
int d = b + c;  
int e = c + d;  
int r = a + e;
```

a → 
b → 
c → 
d → 
e → 
r → 

Deux allocations de registres

```
int a = 9;  
int b = 5;  
int c = a + b;  
int d = b + c;  
int e = c + d;  
int r = a + e;
```



Graphe d'interférence-affinité

- Sommets = Variables du programme
- Deux ensembles d'arêtes :
 - ① **Interférence** $(v_1, v_2) \Rightarrow v_1$ et v_2 dans des registres différents
 - ② **Affinité** $(v_1, v_2) \Rightarrow v_1$ et v_2 opérandes d'une instruction `move`

Graphe d'interférence-affinité

- Sommets = Variables du programme
- Deux ensembles d'arêtes :
 - ① **Interférence** $(v_1, v_2) \Rightarrow v_1$ et v_2 dans des registres différents
 - ② **Affinité** $(v_1, v_2) \Rightarrow v_1$ et v_2 opérandes d'une instruction `move`

Modèle

Une couleur = Un registre

Sommets liés par une interférence \Rightarrow **couleurs différentes**

Sommets liés par une affinité \Rightarrow **préférentiellement de même couleur**

Définition : Coloration de graphe d'interférence-affinité

Une coloration d'un graphe d'interférence-affinité est une fonction qui affecte à chaque sommet (au plus) une couleur, telle que deux sommets liés par une interférence ont des couleurs différentes. Une p -coloration est une coloration utilisant au plus p couleurs.

Définition : Coloration de graphe d'interférence-affinité

Une coloration d'un graphe d'interférence-affinité est une fonction qui affecte à chaque sommet (au plus) une couleur, telle que deux sommets liés par une interférence ont des couleurs différentes. Une p -coloration est une coloration utilisant au plus p couleurs.

K -coloration de G = Affectation valide des registres

Définition : Coloration de graphe d'interférence-affinité

Une coloration d'un graphe d'interférence-affinité est une fonction qui affecte à chaque sommet (au plus) une couleur, telle que deux sommets liés par une interférence ont des couleurs différentes. Une p -coloration est une coloration utilisant au plus p couleurs.

K -coloration de G = Affectation valide des registres

But

Trouver une K -coloration de G maximisant la somme des poids des affinités satisfaites

Exemple ($K = 4$)

Entrée : k j

(p₀) g = mem[j+12]

(p₁) h = k - 1

(p₂) f = g * h

(p₃) e = mem[j+8]

(p₄) m = mem[j+16]

(p₅) b = mem[f]

(p₆) c = e + 8

(p₇) d = c

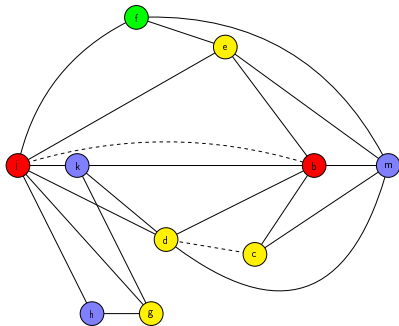
(p₈) k = m + 4

(p₉) j = b

(p₁₀)

Sortie : d j k

k j g h f e m b c d



Quatre composantes de l'allocation de registres

Vidage (« spilling »)

Quelles variables en registre ?

Déterminer un sous-graphe K -colorable de taille maximale

Quatre composantes de l'allocation de registres

Vidage (« spilling »)

Quelles variables en registre ?

Déterminer un sous-graphe K -colorable de taille maximale

Fusion

Quelles instructions `move` supprimer du code ?

Fusionner un maximum d'affinités

Quatre composantes de l'allocation de registres

Vidage (« spilling »)

Quelles variables en registre ?

Déterminer un sous-graphe K -colorable de taille maximale

Fusion

Quelles instructions `move` supprimer du code ?

Fusionner un maximum d'affinités

Affectation des registres

Quelles variables dans quels registres ?

Colorer le graphe avec K couleurs

Quatre composantes de l'allocation de registres

Vidage (« spilling »)

Quelles variables en registre ?

Déterminer un sous-graphe K -colorable de taille maximale

Fusion

Quelles instructions `move` supprimer du code ?

Fusionner un maximum d'affinités

Affectation des registres

Quelles variables dans quels registres ?

Colorer le graphe avec K couleurs

Insertion du « spill code »

Comment modifier le programme ?

Ne faire apparaître que des emplacements mémoire (`load`, `store`)

Comment gagner confiance en l'allocation de registres et ses optimisations pour les systèmes embarqués critiques ?

Comment définir des allocateurs de registres encore plus optimisants ?

Comment gagner confiance en l'allocation de registres et ses optimisations pour les systèmes embarqués critiques ?

- 1 Vérification formelle d'une heuristique optimisante
Compilateur CompCert

Comment définir des allocateurs de registres encore plus optimisants ?

Comment gagner confiance en l'allocation de registres et ses optimisations pour les systèmes embarqués critiques ?

- 1 Vérification formelle d'une heuristique optimisante
Compilateur CompCert

Comment définir des allocateurs de registres encore plus optimisants ?

Optimisation de la fusion

Comment gagner confiance en l'allocation de registres et ses optimisations pour les systèmes embarqués critiques ?

- 1 Vérification formelle d'une heuristique optimisante
Compilateur CompCert

Comment définir des allocateurs de registres encore plus optimisants ?

- Optimisation de la fusion
- Gestion des affinités globale et spécifique

Comment gagner confiance en l'allocation de registres et ses optimisations pour les systèmes embarqués critiques ?

- 1 Vérification formelle d'une heuristique optimisante
Compilateur CompCert

Comment définir des allocateurs de registres encore plus optimisants ?

- Optimisation de la fusion
 - Gestion des affinités globale et spécifique
- 2 Forme SSA
 - 3 Forme élémentaire

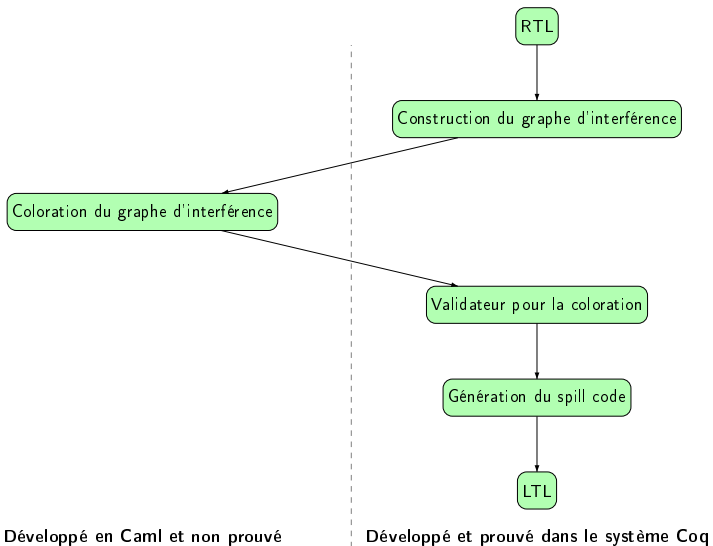
- ① L'allocation de registres de CompCert
- ② L'heuristique
- ③ Implantation fonctionnelle de l'IRC
- ④ Les graphes d'interférence-affinité
- ⑤ Correction de l'algorithme
- ⑥ Statistiques numériques

Compilateur de C \rightarrow PowerPC/ARM/x86, spécifié, développé, prouvé correct dans le système Coq

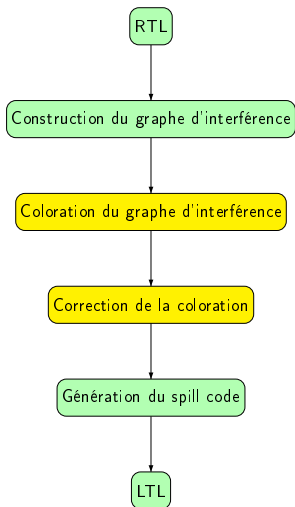
Allocation de registres : [Iterated Register Coalescing \(IRC\)](#) [GA96]

IRC efficace sur les architectures dotées de nombreux registres comme PowerPC/ARM

L'allocation de registres de CompCert



L'allocation de registres de CompCert



Développé en Caml et non prouvé

Développé et prouvé dans le système Coq

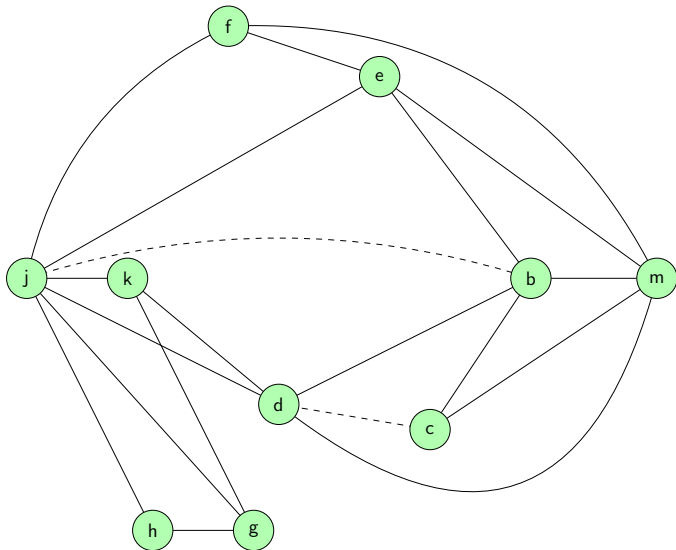
L'heuristique par l'exemple ($K = 3$)

simplification

fusion

gel

vidage



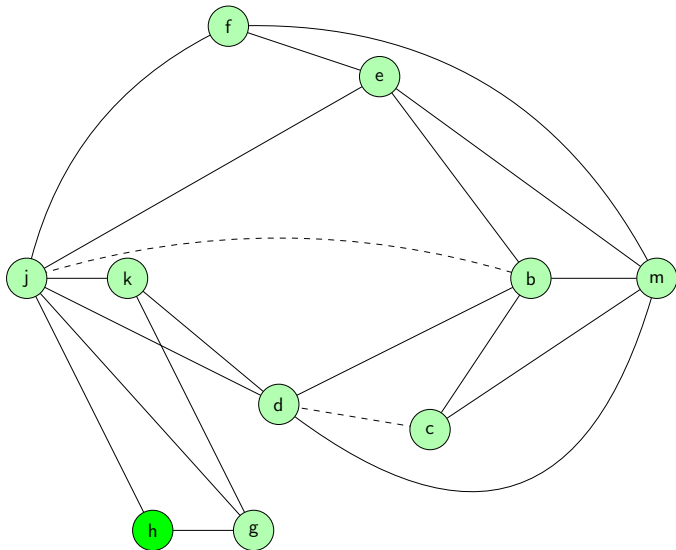
L'heuristique par l'exemple ($K = 3$)

simplification

fusion

gel

vidage



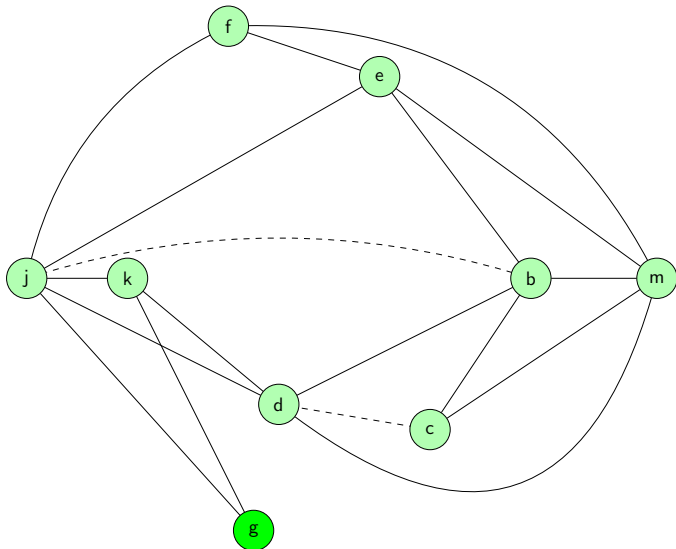
L'heuristique par l'exemple ($K = 3$)

simplification

fusion

gel

vidage



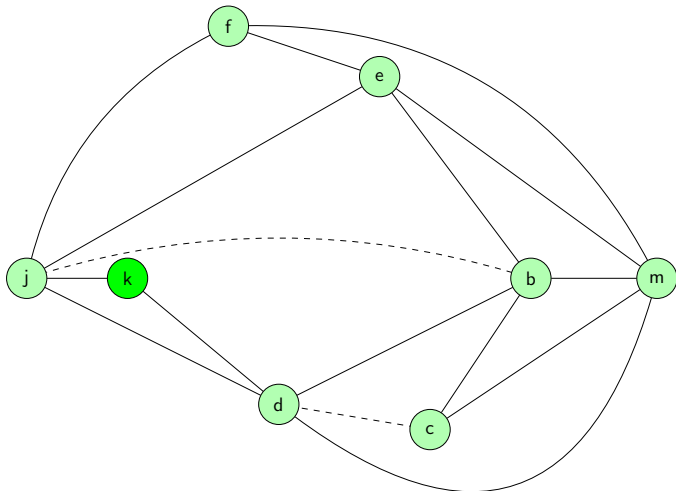
L'heuristique par l'exemple ($K = 3$)

simplification

fusion

gel

vidage



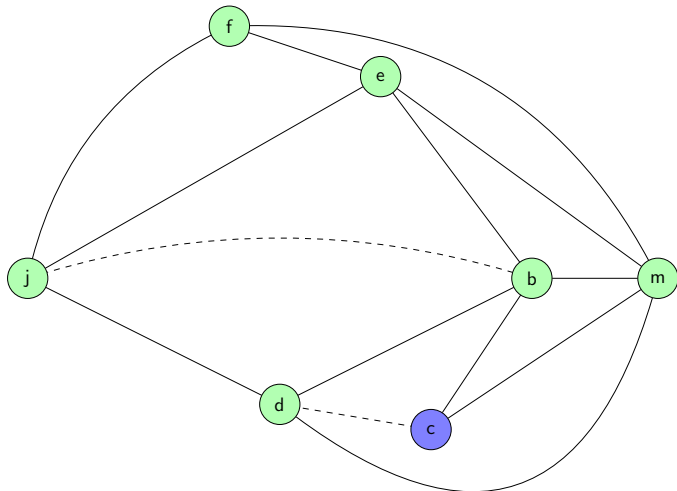
L'heuristique par l'exemple ($K = 3$)

simplification

fusion

gel

vidage



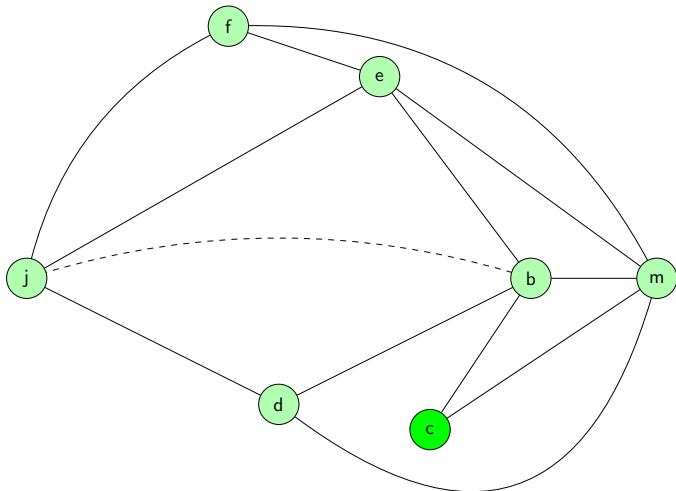
L'heuristique par l'exemple ($K = 3$)

simplification

fusion

gel

vidage



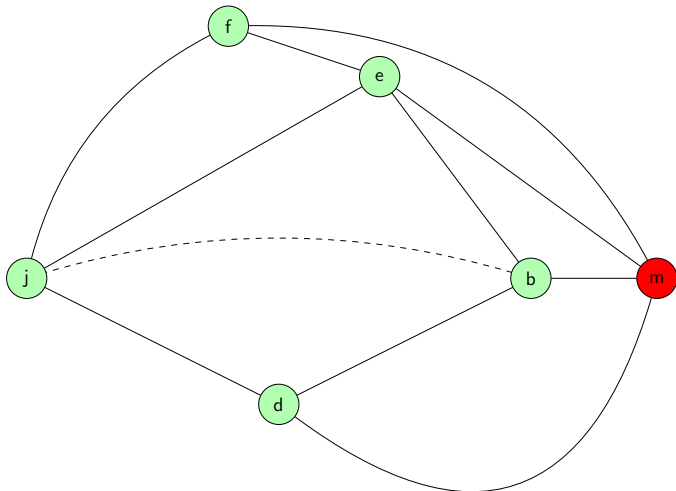
L'heuristique par l'exemple ($K = 3$)

simplification

fusion

gel

vidage



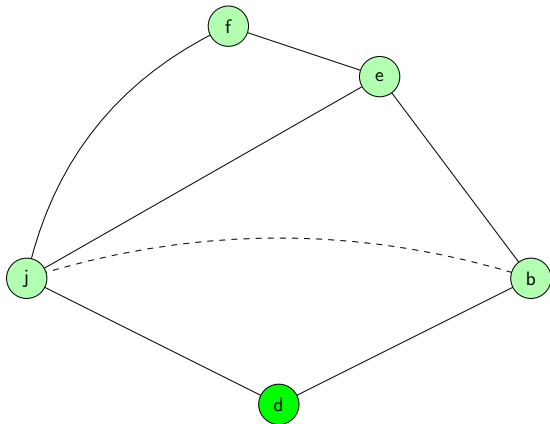
L'heuristique par l'exemple ($K = 3$)

simplification

fusion

gel

vidage



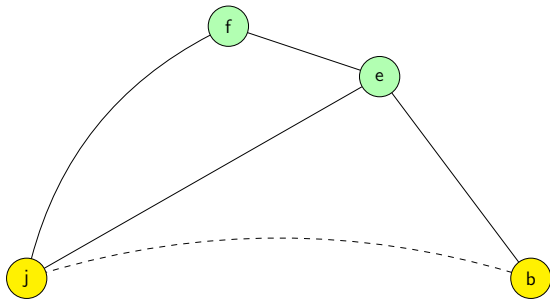
L'heuristique par l'exemple ($K = 3$)

simplification

fusion

gel

vidage



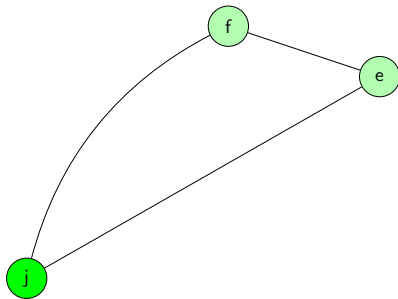
L'heuristique par l'exemple ($K = 3$)

simplification

fusion

gel

vidage



L'heuristique par l'exemple ($K = 3$)

simplification

fusion

gel

vidage



L'heuristique par l'exemple ($K = 3$)



L'heuristique par l'exemple ($K = 3$)

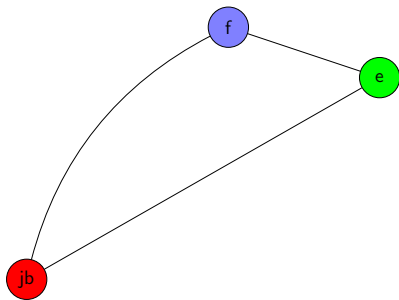
L'heuristique par l'exemple ($K = 3$)



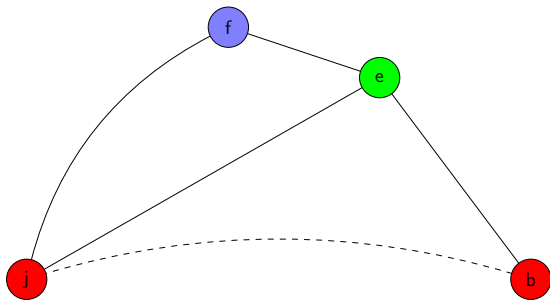
L'heuristique par l'exemple ($K = 3$)



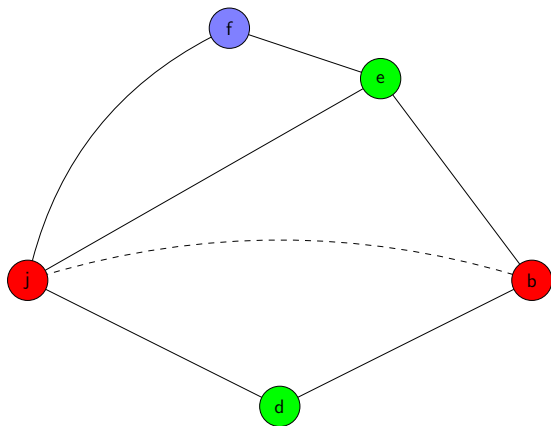
L'heuristique par l'exemple ($K = 3$)



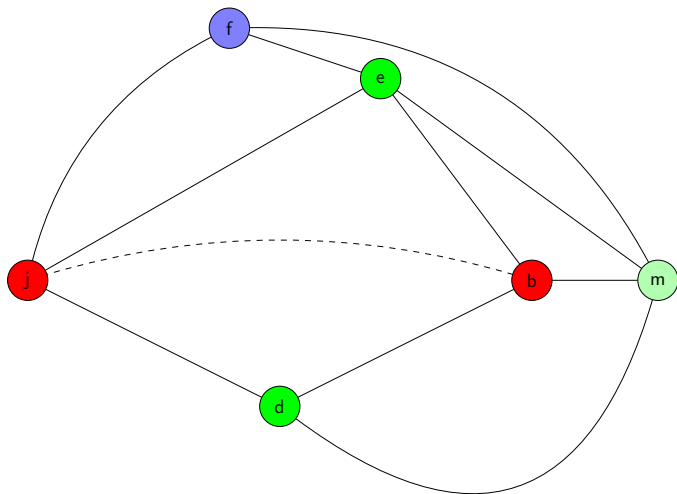
L'heuristique par l'exemple ($K = 3$)



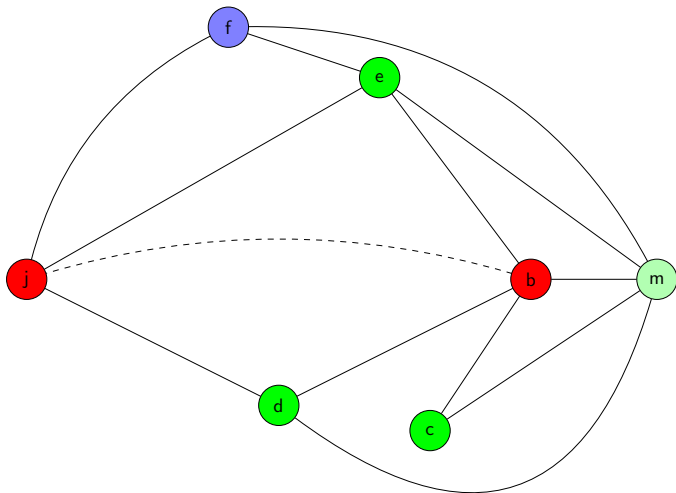
L'heuristique par l'exemple ($K = 3$)



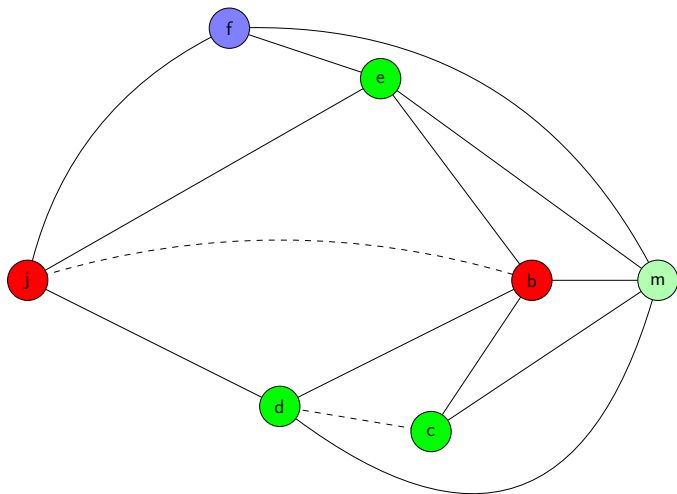
L'heuristique par l'exemple ($K = 3$)



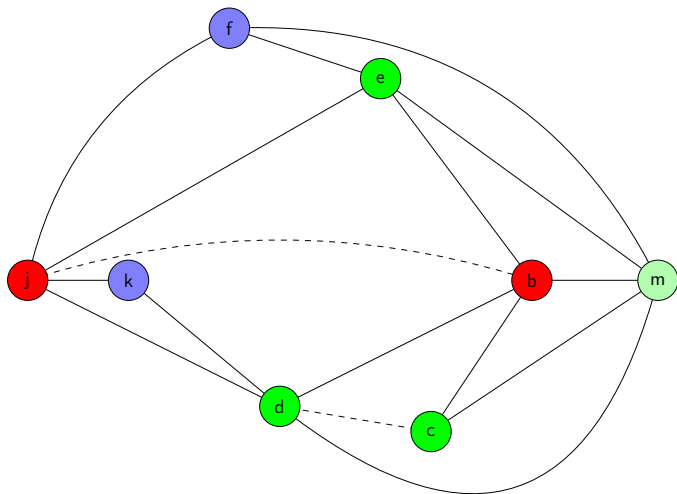
L'heuristique par l'exemple ($K = 3$)



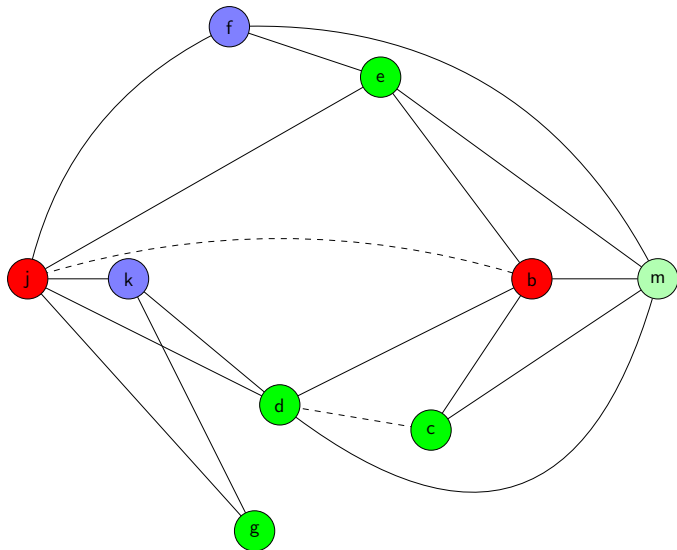
L'heuristique par l'exemple ($K = 3$)



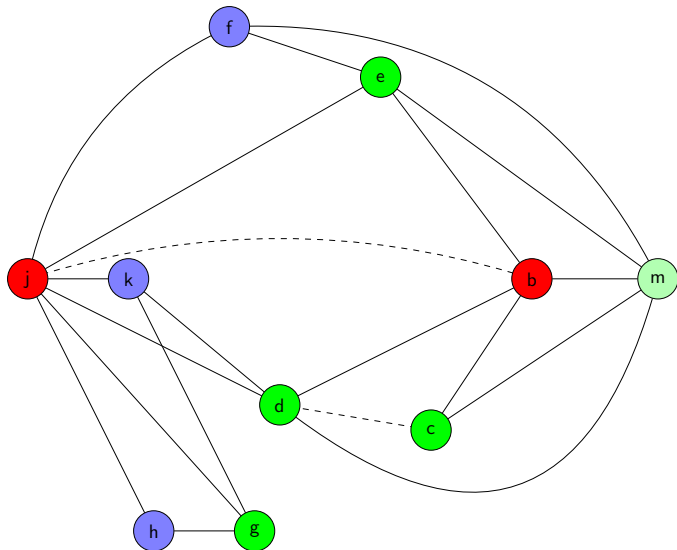
L'heuristique par l'exemple ($K = 3$)



L'heuristique par l'exemple ($K = 3$)



L'heuristique par l'exemple ($K = 3$)



La fonction IRC

```
1 : Algorithm IRC g : Coloring :=
2 : match simplify g with
3 : | [(r,g')] → available_coloring g r (IRC g')
4 : | ∅ → match coalesce g with
5 : | [(e,g')] → complete_coloring e (IRC g')
6 : | ∅ → match freeze g with
7 : | [g'] → IRC g'
8 : | ∅ → match spill g with
9 : | [(r,g')] → available_coloring g r (IRC g')
10: | ∅ → precoloring g
11: end
12: end
13: end
14: end.
```

Efficacité de l'IRC liée aux [ensembles de travail](#) :

- ① [simplifyWL](#) ensemble des sommets de bas degré, sans affinité, non précolorés
- ② [freezeWL](#) ensemble des sommets de bas degré, avec affinité, non précolorés
- ③ [spillWL](#) ensemble des sommets de haut degré, non précolorés
- ④ [movesWL](#) ensemble des affinités

Définition d'un invariant : [WL_invariant](#)

```
Record irc_graph := Make_IRC_Graph {  
  gph : Graph.t;  
  wl  : WL;  
  pal : ColorSet.t;  
  k   : nat;  
  Hk  : ColorSet.cardinal pal = k;  
  Hwl : WL_invariant gph pal wl }.
```

```
Record irc_graph := Make_IRC_Graph {  
  gph : Graph.t;  
  wl  : WL;  
  pal : ColorSet.t;  
  k   : nat;  
  Hk  : ColorSet.cardinal pal = k;  
  Hwl : WL_invariant gph pal wl }.
```

Les fonctions auxiliaires :

- 1 vérifient si l'opération est possible
- 2 modifient le graphe
- 3 ajustent les ensembles de travail
- 4 construisent une preuve de préservation de l'invariant

Définition modulaire : interface + implantation

Définition modulaire : interface + implantation

Interface

Graphes = triplets d'ensembles : sommets, interférences, affinités
⇒ expressivité

Propriétés axiomatiques, fonction de modification usuelles en allocation de registres, fonctions de calcul des voisinages, des degrés,...

Définition modulaire : interface + implantation

Interface

Graphes = triplets d'ensembles : sommets, interférences, affinités
⇒ expressivité

Propriétés axiomatiques, fonction de modification usuelles en allocation de registres, fonctions de calcul des voisinages, des degrés,...

Implantation

Graphes = fonctions : sommets \rightarrow ensembles d'adjacence \Rightarrow efficacité du calcul des voisinages (complexité logarithmique)

Définition d'une mesure $\text{irc_measure} = 2 * \text{n-card}(\text{simplifyWL})$

Théorème : Terminaison

Theorem `terminate_IRC` : $\forall g g' r e,$
`simplify` $g = [(r, g')]$ \vee
`coalesce` $g = [(e, g')]$ \vee
`freeze` $g = [g']$ \vee
`spill` $g = [(r, g')]$ \Rightarrow
 $\text{irc_measure } g' < \text{irc_measure } g.$

Théorème : Correction

Theorem `proper_coloring_IRC` : \forall `g palette`,
`proper_coloring (precoloring g) g palette` \Rightarrow
`proper_coloring (IRC g palette) g palette`.

Induction fonctionnelle

\Rightarrow 5 sous-buts : 4 appels récursifs et 1 cas de base

- Simplification et vidage : correction de la fonction `available_coloring`
- Fusion : correction du critère de fusion
- Gel : conservation de la coloration par suppression des affinités
- Cas de base : correction de la précoloration

Implantation modulaire de l'IRC

Propriétés sur les graphes d'interférence-affinité (550 lignes)

Mise à jour des ensembles de travail (3300 lignes)

Correction (650 lignes)

Terminaison (300 lignes)

Ratio preuve/extraction = 8

Implantation modulaire des graphes d'interférence-affinité

Spécification des graphes (100 lignes)

Implantation des graphes (4000 lignes)

Bilan

Implantation fonctionnelle de référence de l'IRC

Mise à jour incrémentale et efficace des ensembles de travail

Preuves de terminaison et de correction

Spécification et implantation des graphes d'interférence-affinité

Intégration à un prototype de CompCert

Généralisation de la démarche à une classe d'algorithmes

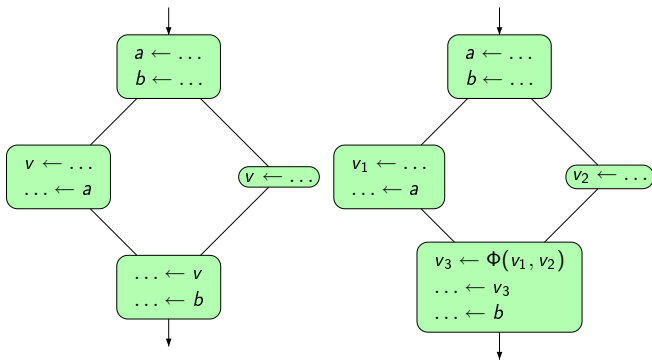
Perspectives

Optimisation de la mise à jour des candidats à la fusion

- ① Graphes d'interférence-affinité SSA
- ② Les affinités source de complexité
- ③ Fusion dans les $(K - 1)$ -arbres partiels
- ④ Fusion dans les graphes SSA

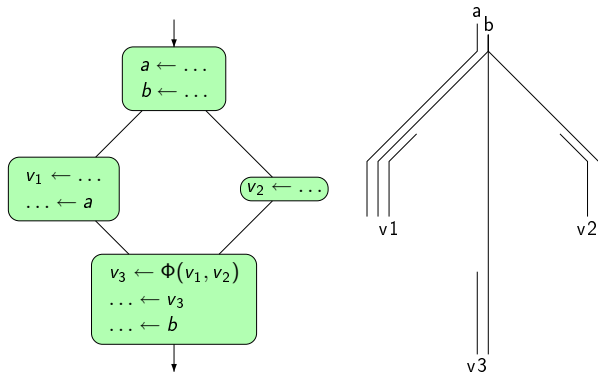
Définition : Forme SSA

Un programme est sous forme SSA si chaque variable est définie textuellement une seule fois.



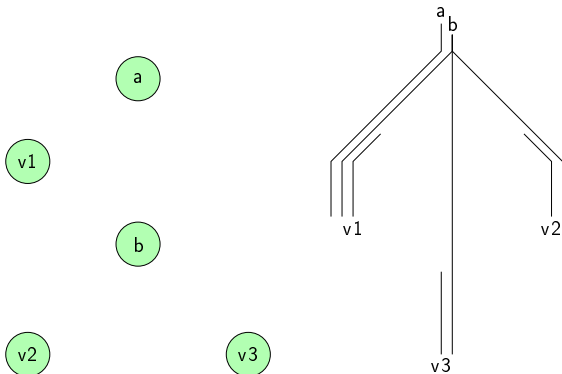
Définition : Graphes SSA

Les durées de vie d'un programme sous forme SSA forment des sous-arbres d'un arbre, appelé **arbre de dominance** du programme [BDGR05, Hac05].



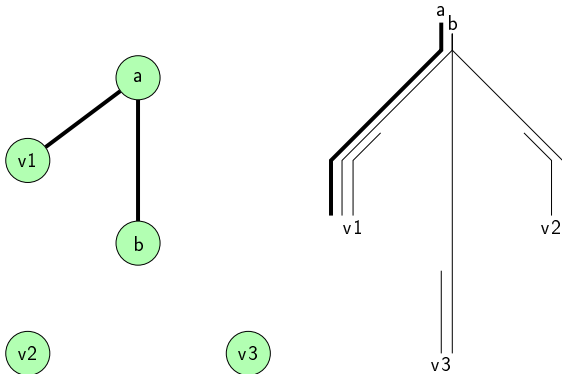
Définition : Graphes SSA

Les durées de vie d'un programme sous forme SSA forment des sous-arbres d'un arbre, appelé **arbre de dominance** du programme [BDGR05, Hac05].



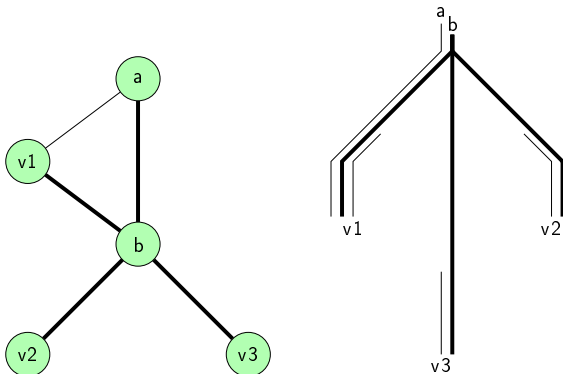
Définition : Graphes SSA

Les durées de vie d'un programme sous forme SSA forment des sous-arbres d'un arbre, appelé **arbre de dominance** du programme [BDGR05, Hac05].



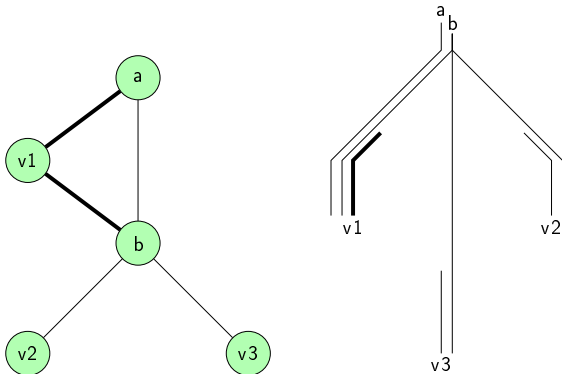
Définition : Graphes SSA

Les durées de vie d'un programme sous forme SSA forment des sous-arbres d'un arbre, appelé **arbre de dominance** du programme [BDGR05, Hac05].



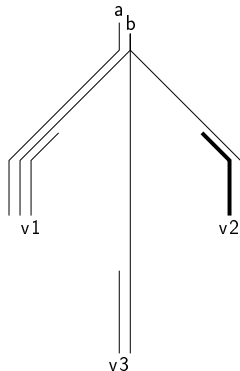
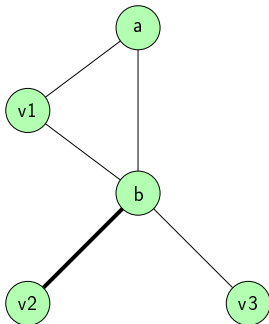
Définition : Graphes SSA

Les durées de vie d'un programme sous forme SSA forment des sous-arbres d'un arbre, appelé **arbre de dominance** du programme [BDGR05, Hac05].



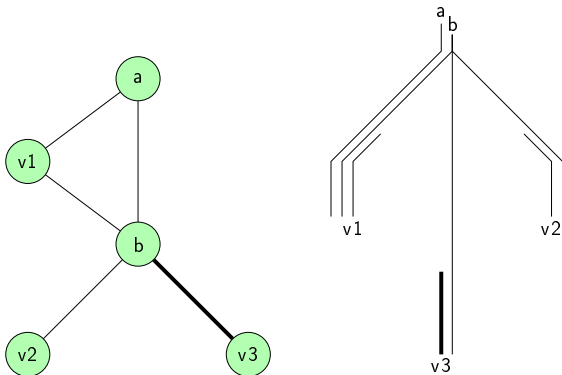
Définition : Graphes SSA

Les durées de vie d'un programme sous forme SSA forment des sous-arbres d'un arbre, appelé **arbre de dominance** du programme [BDGR05, Hac05].



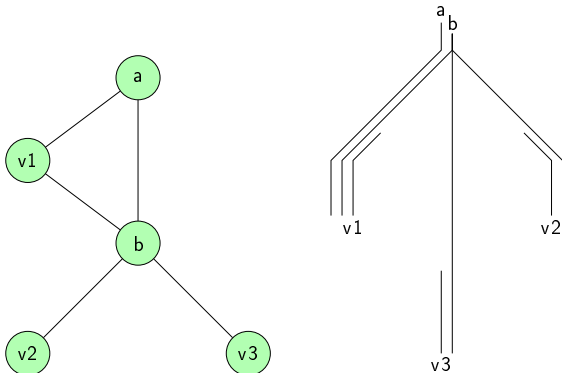
Définition : Graphes SSA

Les durées de vie d'un programme sous forme SSA forment des sous-arbres d'un arbre, appelé **arbre de dominance** du programme [BDGR05, Hac05].



Définition : Graphes SSA

Les durées de vie d'un programme sous forme SSA forment des sous-arbres d'un arbre, appelé **arbre de dominance** du programme [BDGR05, Hac05].



Définition : Caractérisation des graphes triangulés

Un graphe est triangulé si et seulement s'il est le graphe d'intersection d'une famille de sous-arbres d'un arbre. On appelle **décomposition arborescente** la représentation d'un graphe sous cette forme.

Conséquences de SSA

Les interférences d'un programme SSA forment un graphe triangulé [BDGR05, Hac05]

Nombre de couleurs nécessaire connu en temps polynomial

Nouvelles heuristiques pour le vidage plus précises

Séparation en deux phases : vidage puis fusion/affectation

Affinités issues des Φ -fonctions \Rightarrow problème de fusion

Approche

Montrer que les affinités sont une source de complexité majeure sous forme SSA

Utiliser la configuration globale des affinités et non un critère local pour la fusion : intérêt de la largeur d'arbre

Séparer la fusion de l'affectation aux registres : allocation de registres en trois phases

Théorème : Complexité de la fusion/affectation pour $K=3$ dans les graphes 2-colorables

Le problème de fusion/affectation est NP-difficile pour $K=3$ dans les graphes 2-colorables. (réduction du problème de K -coloration de graphe)

Théorème : Complexité de la fusion/affectation pour $K=3$ dans les graphes 2-colorables

Le problème de fusion/affectation est NP-difficile pour $K=3$ dans les graphes 2-colorables. (réduction du problème de K -coloration de graphe)

Théorème : Complexité de la fusion/affectation pour $K=2$ dans les graphes 2-colorables

Le problème de fusion/affectation est NP-difficile pour $K=2$ dans les graphes 2-colorables. (réduction du problème 3-SAT)

Théorème : Complexité de la fusion/affectation pour $K=3$ dans les graphes 2-colorables

Le problème de fusion/affectation est NP-difficile pour $K=3$ dans les graphes 2-colorables. (réduction du problème de K -coloration de graphe)

Théorème : Complexité de la fusion/affectation pour $K=2$ dans les graphes 2-colorables

Le problème de fusion/affectation est NP-difficile pour $K=2$ dans les graphes 2-colorables. (réduction du problème 3-SAT)

Interprétation

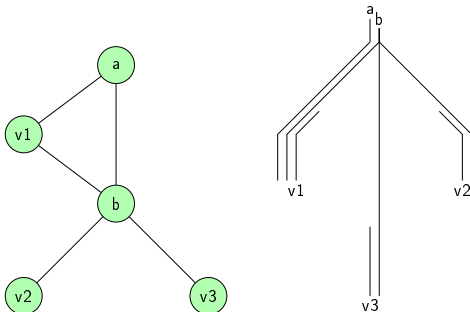
Choisir les affinités à satisfaire est difficile même si colorer le graphe et déterminer s'il reste K -colorable est trivial !

Définition : Triangulation d'un graphe

Une triangulation de G est un graphe triangulé contenant G .

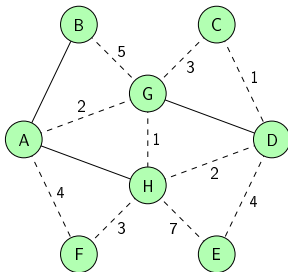
Définition : Largeur d'arbre

La largeur d'une décomposition arborescente est la taille de l'intersection max. des sous-arbres, moins 1. La largeur d'arbre d'un graphe est le min. des largeurs d'arbre de ses triangulations.



Théorème : Équivalence des fusions conservative et agressive

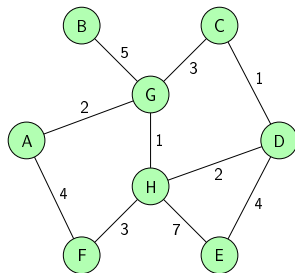
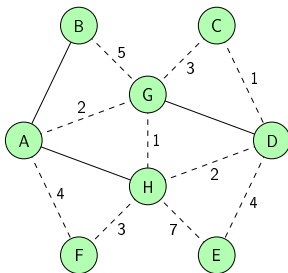
Si la largeur d'arbre d'un graphe d'interférence-affinité est inférieure à $(K - 1)$, alors la fusion de n'importe quelle affinité est conservative et fait diminuer la largeur d'arbre du graphe.



Fusion dans les $(K - 1)$ -arbres partiels

Théorème : Équivalence des fusions conservative et agressive

Si la largeur d'arbre d'un graphe d'interférence-affinité est inférieure à $(K - 1)$, alors la fusion de n'importe quelle affinité est conservative et fait diminuer la largeur d'arbre du graphe.

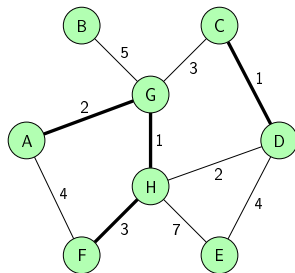
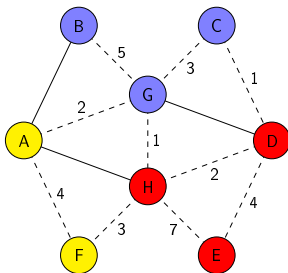


$$T = \{(A,B), (A,H), (G,D)\}$$

Fusion dans les $(K - 1)$ -arbres partiels

Théorème : Équivalence des fusions conservative et agressive

Si la largeur d'arbre d'un graphe d'interférence-affinité est inférieure à $(K - 1)$, alors la fusion de n'importe quelle affinité est conservative et fait diminuer la largeur d'arbre du graphe.



$$T = \{(A,B), (A,H), (G,D)\}$$

Théorème : Fusion dans les $(K - 1)$ -arbres partiels

Le problème de fusion dans les graphes de largeur d'arbre inférieure à $(K - 1)$ est un problème de multicoupe minimum.

Théorème : Fusion dans les $(K - 1)$ -arbres partiels

Le problème de fusion dans les graphes de largeur d'arbre inférieure à $(K - 1)$ est un problème de multicoupe minimum.

$$(PMCM) \left\{ \begin{array}{l} \text{Min} \\ \text{s.c.} \\ \forall (i, j) \in T, \forall p \in P(i, j), \\ \forall e, \end{array} \right. \quad \begin{array}{l} \sum_{e \in A} w_e y_e \\ \\ \sum_{e \in p} y_e \geq 1 \\ y_e \in \{0, 1\} \end{array}$$

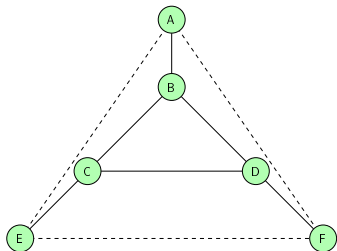
Approche

- 1 Triangler le graphe d'interférence-affinité avec des affinités de poids nul
- 2 Déterminer un ensemble d'affinités dont la fusion fait décroître la largeur d'arbre en dessous de $K - 1$ par PL

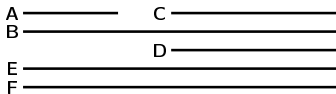
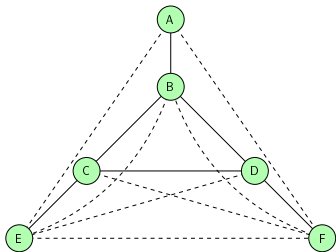
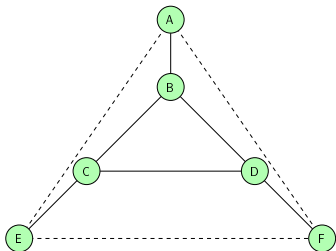
$$(P) \left\{ \begin{array}{ll} \text{Min} & \sum_{e \in A} w_e y_e \\ \text{s.c.} & \\ \forall (i, j) \in I, \forall p \in P(i, j), & \sum_{e \in p} y_e \geq 1 \\ \forall a, \forall i \in C_a - I_a, & \sum_{j \in I_a - N(i)} y_e = |I_a - N(i)| - 1 \\ \forall e \in A, & y_e \in \{0, 1\} \end{array} \right.$$

- 3 Colorer le graphe d'interférence-affinité (triangulé, sans affinité) avec un algorithme polynomial

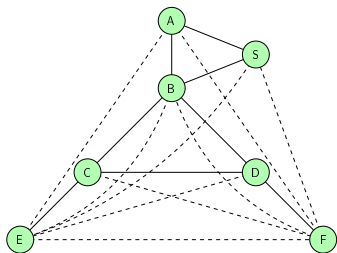
Exemple (étape 1)



Exemple (étape 1)



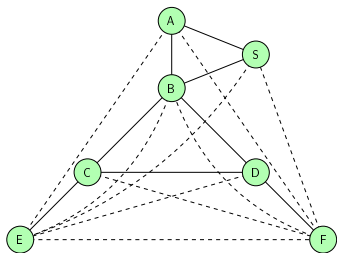
Exemple (étape 2)



(P) {

Min	$Y_{AE} + Y_{AF} + Y_{EF}$	
s.c.		
(* chemins AB *)		
$Y_{AE} + Y_{BE}$	\geq	1
$Y_{AE} + Y_{EF} + Y_{BF}$	\geq	1
$Y_{AF} + Y_{BF}$	\geq	1
$Y_{AF} + Y_{EF} + Y_{BE}$	\geq	1
(* chemins BC *)		
$Y_{BF} + Y_{CF}$	\geq	1
$Y_{BE} + Y_{EF} + Y_{CF}$	\geq	1
$Y_{BE} + Y_{AE} + Y_{AF} + Y_{CF}$	\geq	1
(* chemins BD *)		
$Y_{BE} + Y_{DE}$	\geq	1
$Y_{BF} + Y_{EF} + Y_{DE}$	\geq	1
$Y_{BF} + Y_{AF} + Y_{AE} + Y_{DE}$	\geq	1
(* chemins CD *)		
$Y_{CF} + Y_{EF} + Y_{DE}$	\geq	1
$Y_{CF} + Y_{AF} + Y_{AE} + Y_{DE}$	\geq	1
(* chemins CE *)		
$Y_{CF} + Y_{EF}$	\geq	1
(* chemins DF *)		
$Y_{DE} + Y_{EF}$	\geq	1
(* clique ABEFS *)		
$Y_{AE} + Y_{BE} + Y_{ES}$	$=$	2
$Y_{AF} + Y_{BF} + Y_{ES}$	$=$	2
(* clique BCDEF *)		
$Y_{BE} + Y_{DE}$	$=$	1
$Y_{BF} + Y_{CF}$	$=$	1
$\forall e \in A,$	$y_e \in \{0, 1\}$	

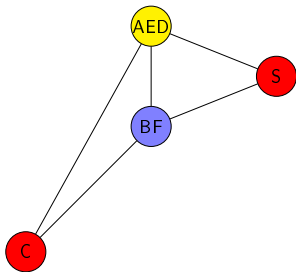
Exemple (étape 2)



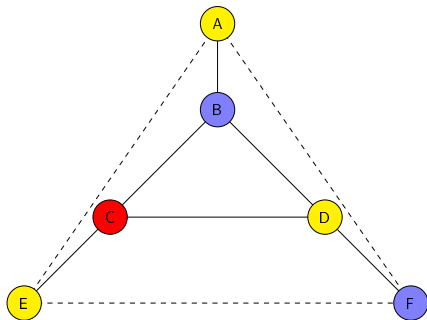
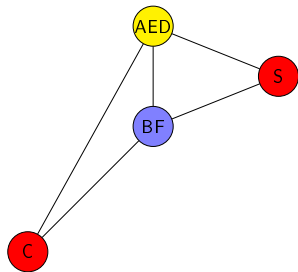
9 variables, 24 contraintes
au lieu de 21 variables,
33 contraintes et 20
coupes [GH07]

$$\begin{array}{ll} \text{Min} & y_{AE} + y_{AF} + y_{EF} \\ \text{s.c.} & \\ (* \text{ chemins } AB *) & \\ y_{AE} + y_{BE} & \leq 1 \\ y_{AE} + y_{EF} + y_{BF} & \leq 1 \\ y_{AF} + y_{BF} & \leq 1 \\ y_{AF} + y_{EF} + y_{BE} & \leq 1 \\ (* \text{ chemins } BC *) & \\ y_{BF} + y_{CF} & \leq 1 \\ y_{BE} + y_{EF} + y_{CF} & \leq 1 \\ y_{BE} + y_{AE} + y_{AF} + y_{CF} & \leq 1 \\ (* \text{ chemins } BD *) & \\ y_{BE} + y_{DE} & \leq 1 \\ y_{BF} + y_{EF} + y_{DE} & \leq 1 \\ y_{BF} + y_{AF} + y_{AE} + y_{DE} & \leq 1 \\ (* \text{ chemins } CD *) & \\ y_{CF} + y_{EF} + y_{DE} & \leq 1 \\ y_{CF} + y_{AF} + y_{AE} + y_{DE} & \leq 1 \\ (* \text{ chemins } CE *) & \\ y_{CF} + y_{EF} & \geq 1 \\ (* \text{ chemins } DF *) & \\ y_{DE} + y_{EF} & \geq 1 \\ (* \text{ clique } ABEFS *) & \\ y_{AE} + y_{BE} + y_{ES} & = 2 \\ y_{AF} + y_{BF} + y_{ES} & = 2 \\ (* \text{ clique } BCDEF *) & \\ y_{BE} + y_{DE} & = 1 \\ y_{BF} + y_{CF} & = 1 \\ \forall e \in A, & y_e \in \{0, 1\} \end{array} \quad (P)$$

Exemple (étape 3)



Exemple (étape 3)



Bilan

Approche plus globale de la gestion des affinités

Séparation des phases de fusion et d'affectation des registres

Équivalence fusion/multicoupe dans les $(K - 1)$ -arbres partiels

Approche optimale de la fusion dans les graphes SSA par PL

Affectation des registres issue du processus de fusion polynomiale

Perspectives

Implantation C de l'algorithme

Validation de la PL

Fusion optimale dans les graphes éclatés par recomposition des durées de vie

- ① Découpage des durées de vie et graphes éclatés
- ② Recomposition des durées de vie
- ③ Décomposition via les cliques de séparation
- ④ Évaluation expérimentale

Une variable = Un emplacement mémoire durant toute l'exécution

Une variable = Un emplacement mémoire durant toute l'exécution

Une solution : Le découpage des durées de vie [CS98]

Découper la durée de vie d'une variable en plusieurs durées de vie chacune matérialisée par une nouvelle variable

⇒ Allocation de registres plus précise mais graphe d'interférence-affinité plus grand

Découpage extrême des durées de vie = découpage partout

- Ouvre la voie à l'optimalité
- Problème de fusion/affectation difficile
- **Optimal Coalescing Challenge (OCC)**

Fusion optimale par PL atteint ses limites pour certaines instances de l'OCC

Idée

Beaucoup de points de découpage utiles pour le vidage mais inutiles pour la fusion

Comment les détecter avant de procéder à la fusion ?

Idée

Beaucoup de points de découpage utiles pour le vidage mais inutiles pour la fusion

Comment les détecter avant de procéder à la fusion ?

Approche

- Étudier les propriétés des graphes éclatés
- Identifier les points de découpage inutiles pour la fusion
- Élaborer une réduction des graphes rendant la fusion soluble

Exemple de graphe éclaté

Live-in : k j

(p_1) $k_0 = k \parallel j_0 = j \parallel g = \text{mem}[j+12]$

(p_2) $j_1 = j_0 \parallel g_0 = g \parallel h = k_0 - 1$

(p_3) $j_2 = j_1 \parallel f = g_0 \cdot h$

(p_4) $f_0 = f \parallel j_3 = j_2 \parallel e = \text{mem}[j_2+8]$

(p_5) $e_0 = e \parallel f_1 = f_0 \parallel m = \text{mem}[j_3+16]$

(p_6) $e_1 = e_0 \parallel m_0 = m \parallel b = \text{mem}[f_1]$

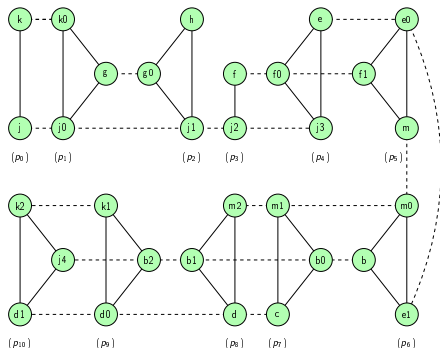
(p_7) $b_0 = b \parallel m_1 = m_0 \parallel c = e_1 + 8$

(p_8) $b_1 = b_0 \parallel m_2 = m_1 \parallel d = c$

(p_9) $b_2 = b_1 \parallel d_0 = d \parallel k_1 = m_2 + 4$

(p_{10}) $d_1 = d_0 \parallel k_2 = k_1 \parallel j_4 = b_2$

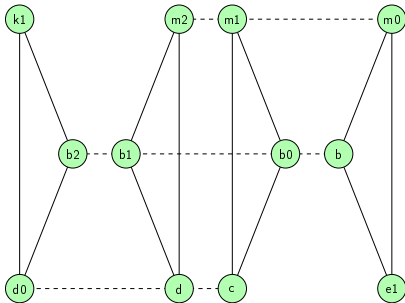
Live-out : d1 k2



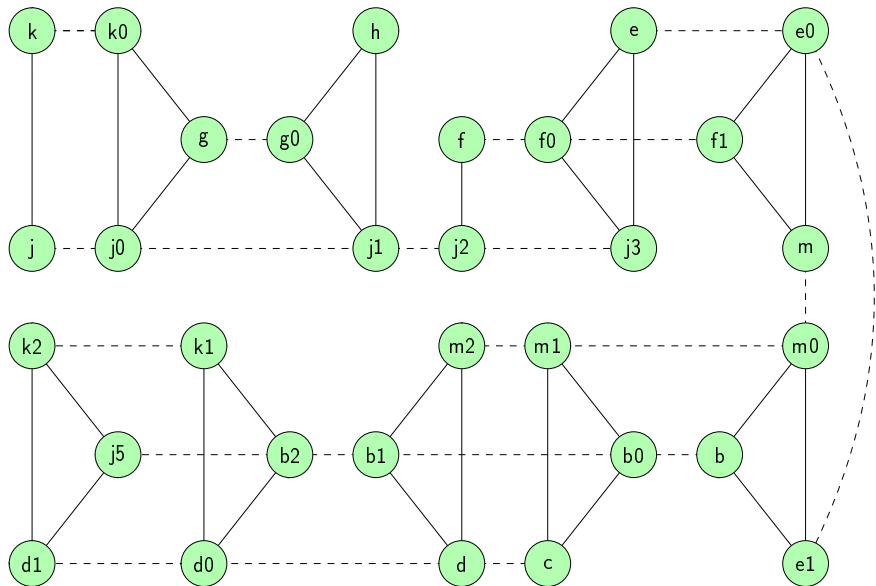
Cliques parallèles

(p_6) $e1 = e0 \parallel m0 = m \parallel b = \text{mem}[f1]$
(p_7) $b0 = b \parallel m1 = m0 \parallel \mathbf{c = e1 + 8}$
(p_8) $b1 = b0 \parallel m2 = m1 \parallel \mathbf{d = c}$
(p_9) $b2 = b1 \parallel d0 = d \parallel k1 = m2 + 4$

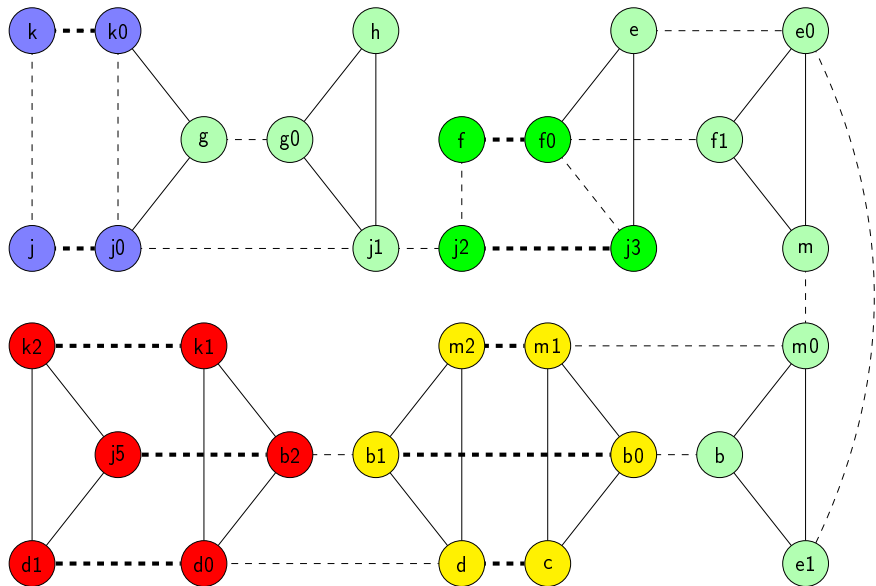
(p_6) $e1 = e0 \parallel m0 = m \parallel b = \text{mem}[f1]$
(p_7, p_8) $b1 = b \parallel m2 = m0 \parallel \mathbf{d = e1 + 8}$
(p_9) $b2 = b1 \parallel d0 = d \parallel k1 = m2 + 4$



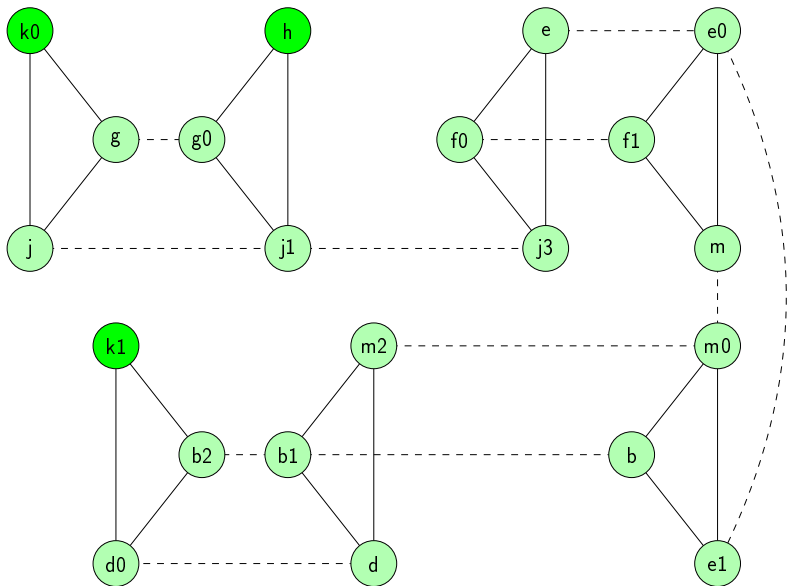
Algorithme appliqué à l'exemple



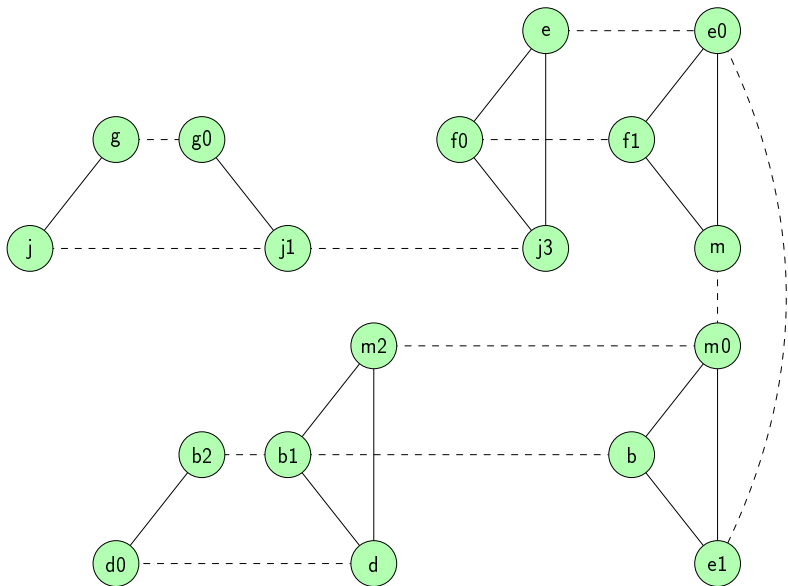
Algorithme appliqué à l'exemple



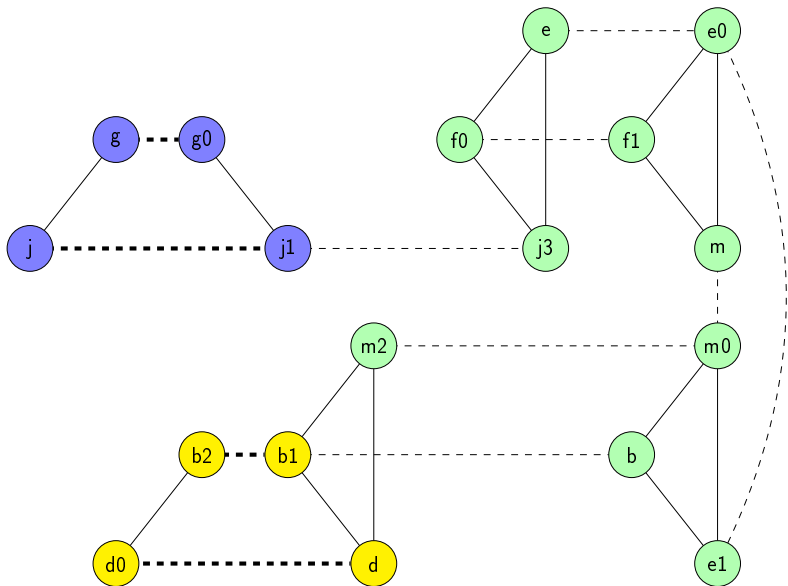
Algorithme appliqué à l'exemple



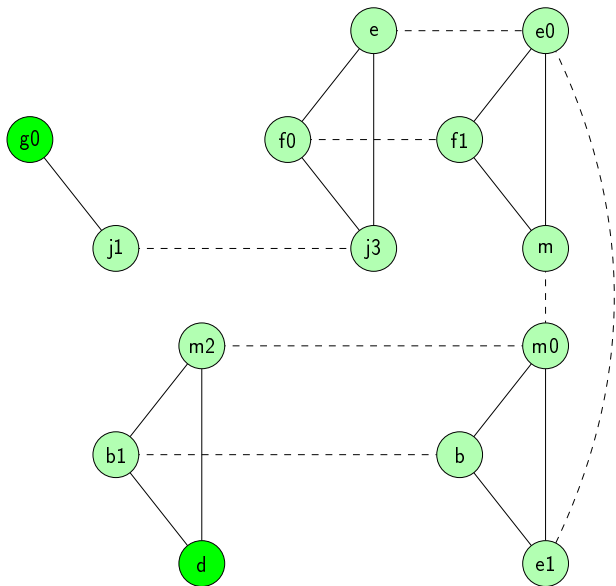
Algorithme appliqué à l'exemple



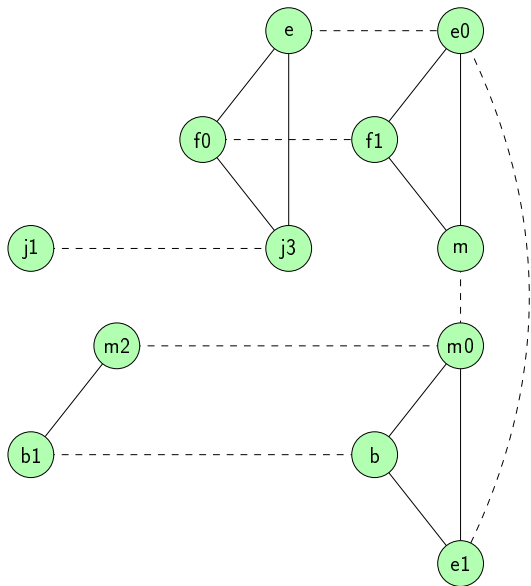
Algorithme appliqué à l'exemple



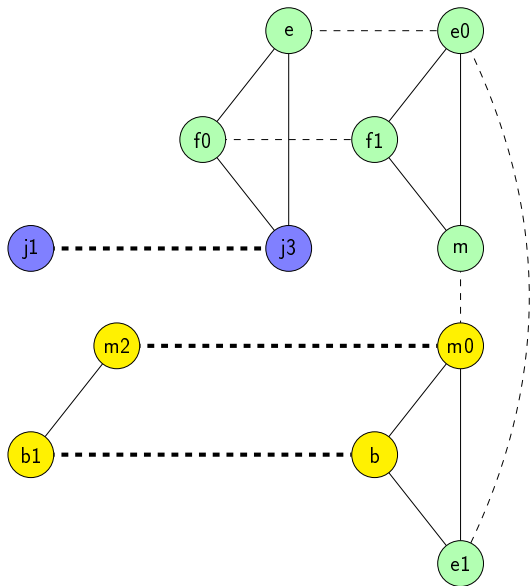
Algorithme appliqué à l'exemple



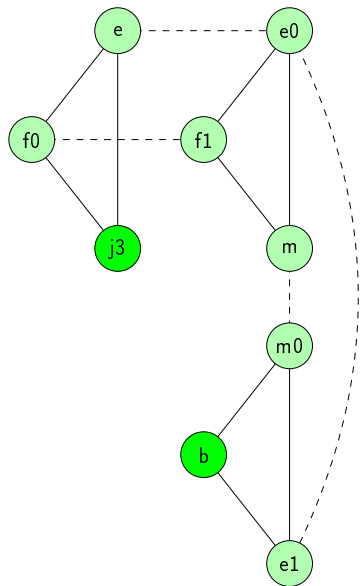
Algorithme appliqué à l'exemple



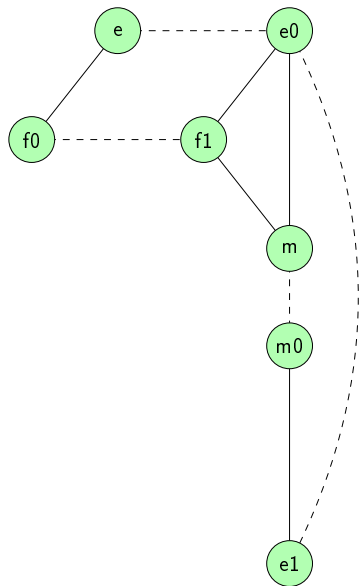
Algorithme appliqué à l'exemple



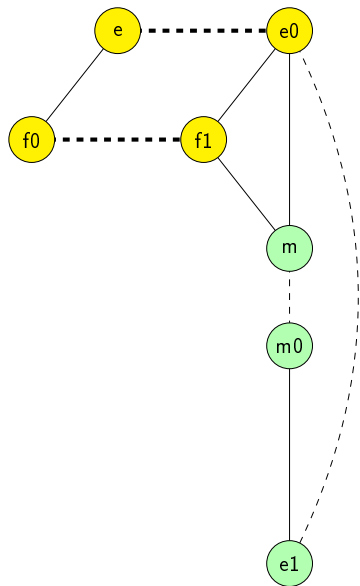
Algorithme appliqué à l'exemple



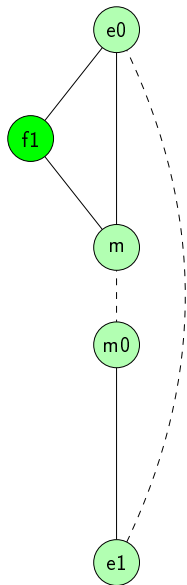
Algorithme appliqué à l'exemple



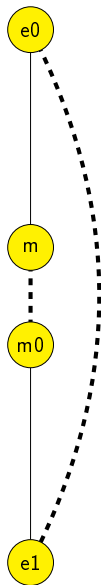
Algorithme appliqué à l'exemple



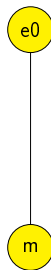
Algorithme appliqué à l'exemple



Algorithme appliqué à l'exemple

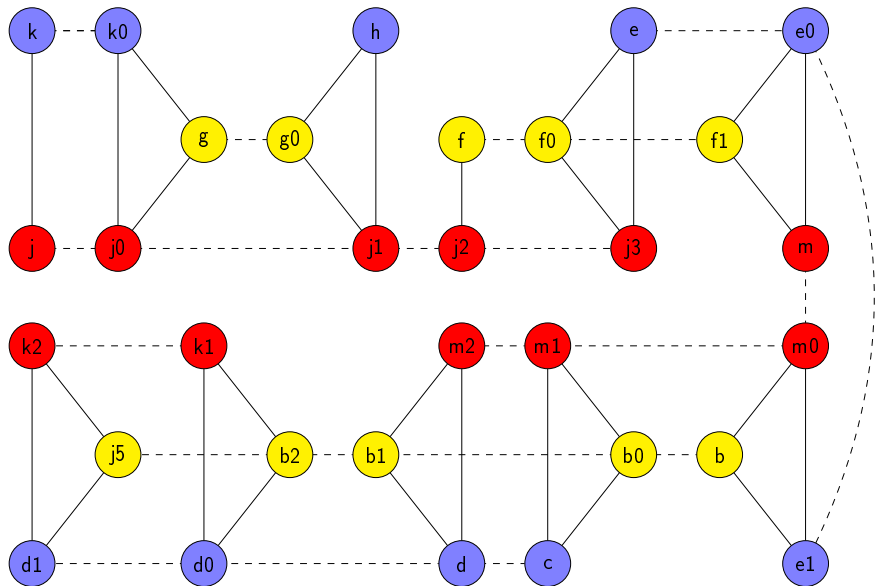


Algorithme appliqué à l'exemple

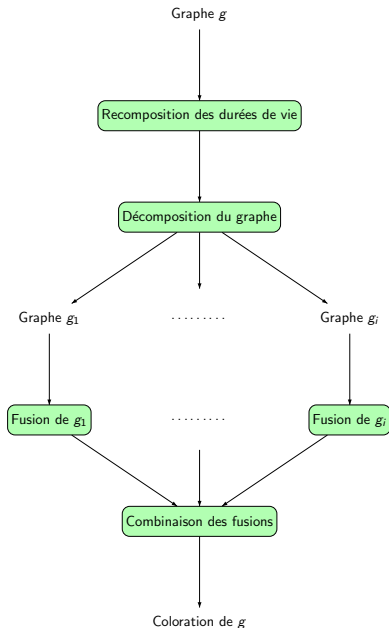


Algorithme appliqué à l'exemple

Algorithme appliqué à l'exemple



Algorithme de réduction complet



OCC : 474 instances de fusion

Sommets	Instances	Réduction moyenne
0 à 499	292	81,6%
500 à 999	97	86,2%
1000 à 2999	63	87,3%
3000 et plus	22	87,4%

Toutes les instances de l'OCC résolues (300 fois plus vite)

Bilan

Fusion avec découpage extrême des durées de vie

- Problème d'une grande combinatoire
- Règles de réduction efficaces (85%)
- Bons résultats sur les instances de l'OCC

Perspectives

Stratégie de découpage idéale

Nécessité de l'utilisation conjointe de l'optimisation combinatoire et de la preuve de programme pour les systèmes embarqués critiques

Nécessité de l'utilisation conjointe de l'optimisation combinatoire et de la preuve de programme pour les systèmes embarqués critiques

Allocation de registres :

Nécessité de l'utilisation conjointe de l'optimisation combinatoire et de la preuve de programme pour les systèmes embarqués critiques

Allocation de registres :

- Un exemple réaliste

Nécessité de l'utilisation conjointe de l'optimisation combinatoire et de la preuve de programme pour les systèmes embarqués critiques

Allocation de registres :

- Un exemple réaliste
- La preuve que c'est possible

Nécessité de l'utilisation conjointe de l'optimisation combinatoire et de la preuve de programme pour les systèmes embarqués critiques

Allocation de registres :

- Un exemple réaliste
- La preuve que c'est possible
- La démonstration de l'adéquation du système Coq

Nécessité de l'utilisation conjointe de l'optimisation combinatoire et de la preuve de programme pour les systèmes embarqués critiques

Allocation de registres :

- Un exemple réaliste
- La preuve que c'est possible
- La démonstration de l'adéquation du système Coq
- Le début d'une aventure passionnante. . .

Questions ?

Détails : <http://www.ensiie.fr/~robillard/>

[Sandrine Blazy et Benoit Robillard.](#)

Live-Range Unsplitting for Faster Optimal Coalescing.

LCTES'09 : Proc. of the 12th ACM Conference on Languages, Compilers and Tools for Embedded Systems, Dublin, Ireland.

[Sandrine Blazy, Benoit Robillard et Andrew W. Appel.](#)

Formal Verification of Coalescing Graph-Coloring Register Allocation.

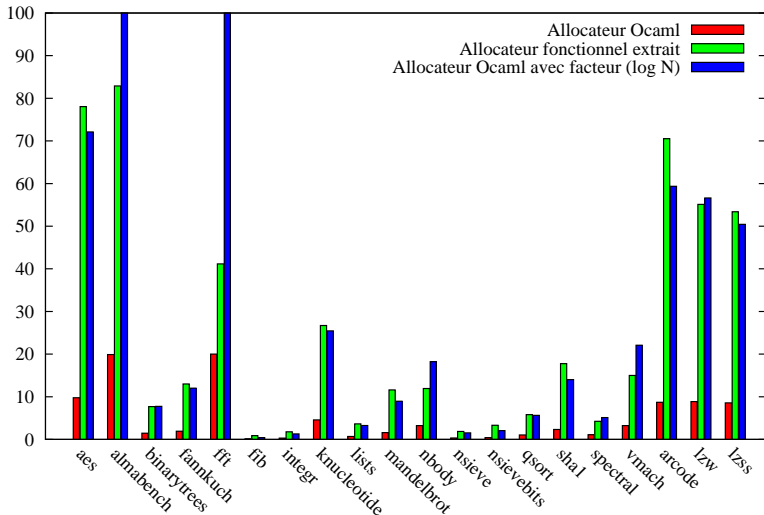
ESOP'10 : Proc. of the 19th European Symposium On Programming, Paphos, Cyprus.

[Benoit Robillard et Eric Soutif.](#)

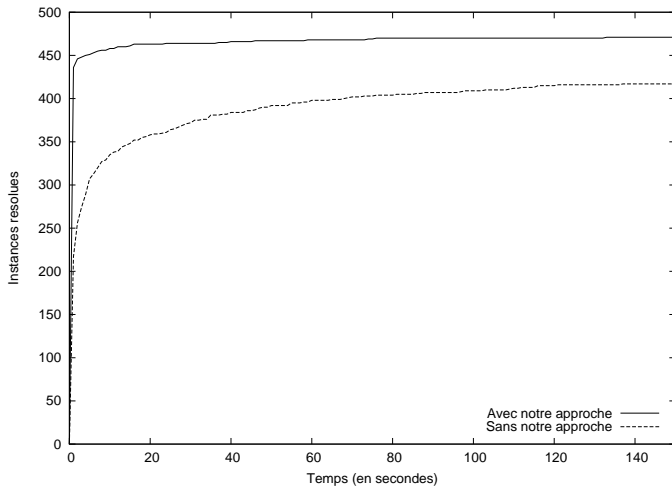
Maximum Affinity Coloring : Complexity in Bipartite Conflict Graphs and Links with Multiway Cut.

Soumis à une revue, Novembre 2010.

Comparaison des temps de calcul des allocateurs (en millisecondes)



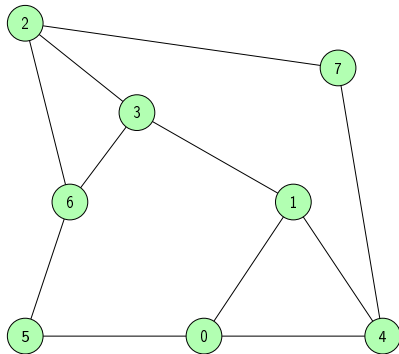
Comparaison des temps de calcul (1)



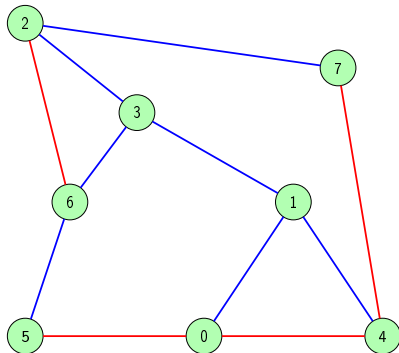
Comparaison des temps de calcul (2)

Nb d'instances résolues	Temps avec notre stratégie (s)	Temps sans notre stratégie (s)	Ratio temps sans/avec
436	1	298	298
446	2	636	318
448	3	732	244
450	4	1198	300
451	5	1228	245
453	6	3153	525
455	7	3321	474
456	8	3574	447
458	10	4022	402
460	12	5630	469
461	15	7214	480
463	16	8709	544
464	24	10397	433
465	37	11757	317
466	40	14941	373
467	59	24916	422
468	74	25490	344
469	76	25663	337
470	133	69956	525
471	11026	71208	7

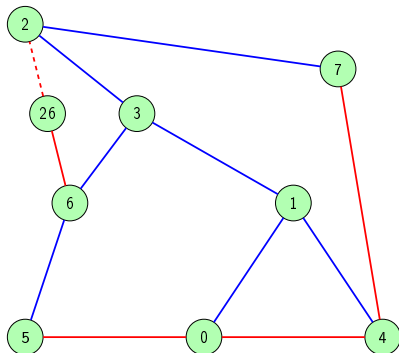
Réduction de K-coloration (1)



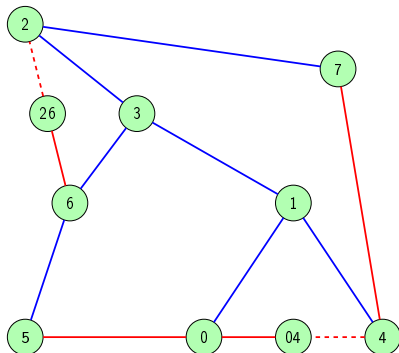
Réduction de K-coloration (2)



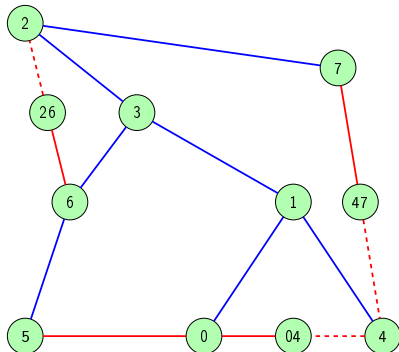
Réduction de K-coloration (3)



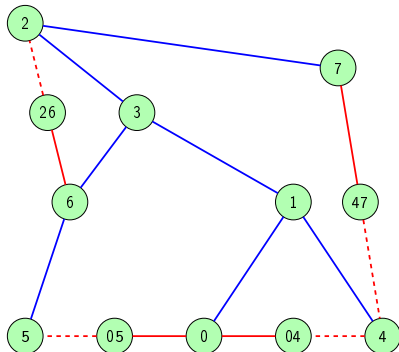
Réduction de K-coloration (4)



Réduction de K-coloration (5)



Réduction de K-coloration (6)



Correction de la réduction

Le graphe G est K -colorable ssi $G_{\nu(G)}$ admet une K -coloration avec préférences de valeur $\nu(G)$

Preuve

G est K -colorable $\Leftrightarrow \exists$ une K -coloration de G_i de valeur i

Preuve par récurrence sur i

Cas de base : trivial car $G = G_0$

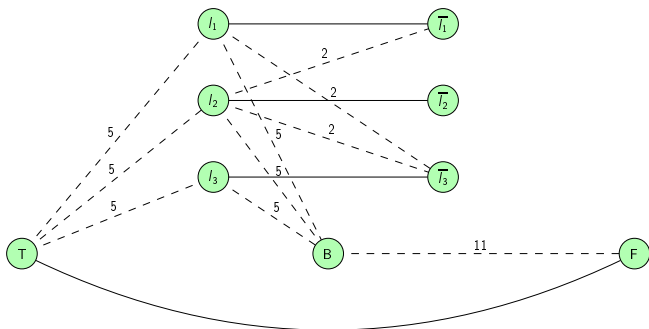
Cas de récurrence : \exists une K -coloration de G_{i+1} de valeur $i + 1$

$\Leftrightarrow \exists$ une K -coloration de G_{i+1} satisfaisant toutes les arêtes de préférence de G_{i+1}

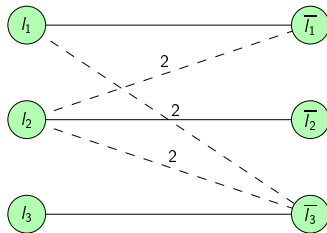
$\Leftrightarrow \exists$ une K -coloration de G_i de valeur i

$\Leftrightarrow \exists$ une K -coloration de G

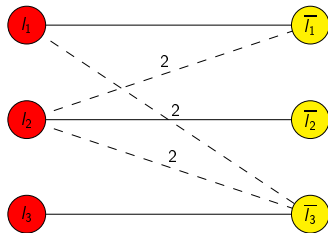
Preuve de complexité de la fusion/affectation ($K=2$)



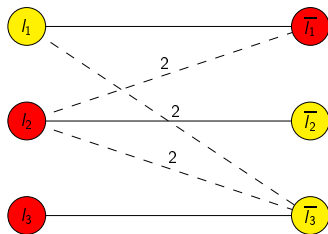
Transformation d'une clause en graphe (1)



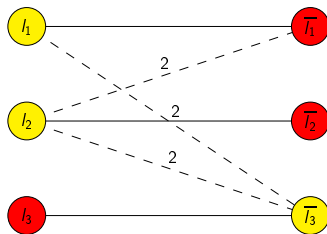
Transformation d'une clause en graphe (1)



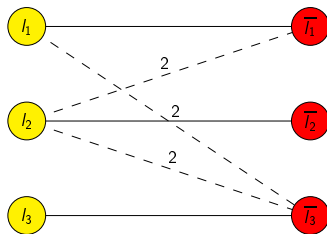
Transformation d'une clause en graphe (1)



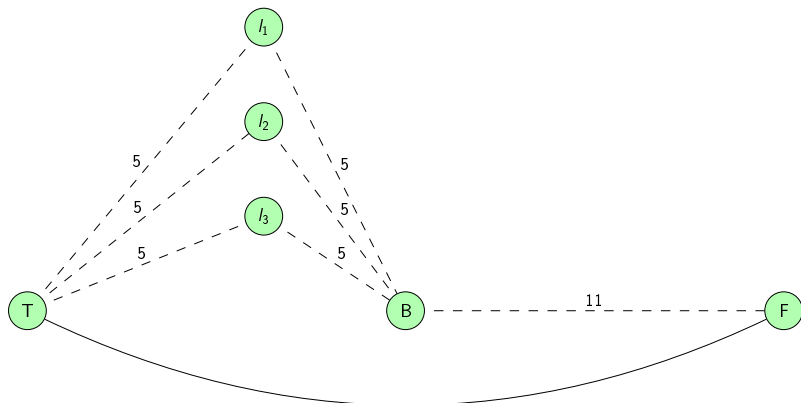
Transformation d'une clause en graphe (1)



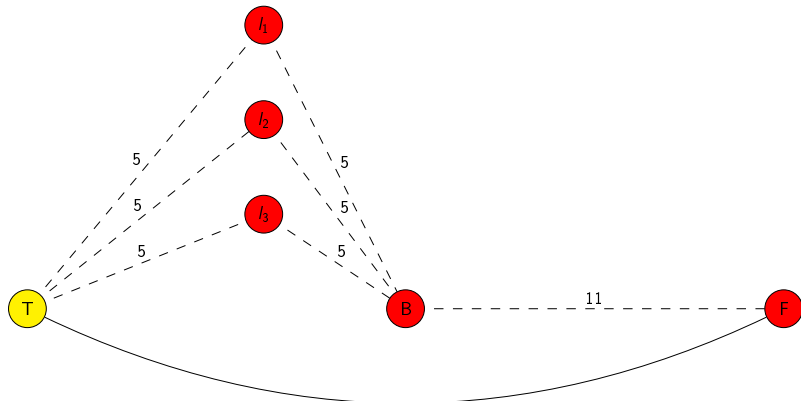
Transformation d'une clause en graphe (1)



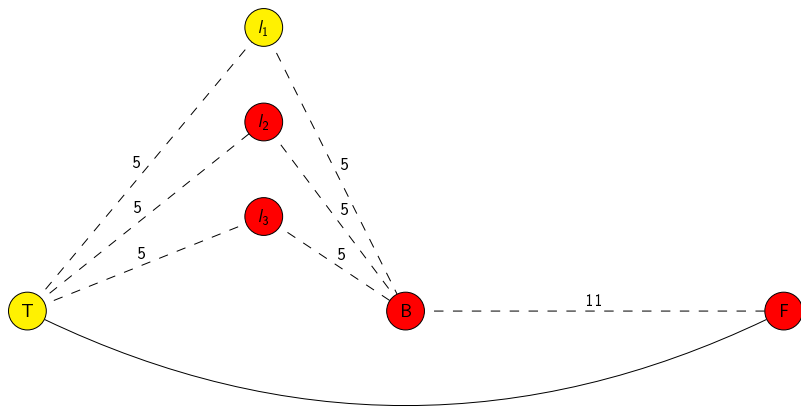
Transformation d'une clause en graphe (2)



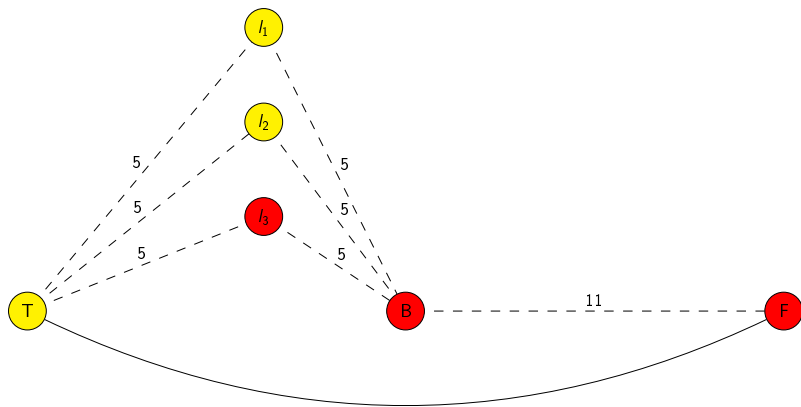
Transformation d'une clause en graphe (2)



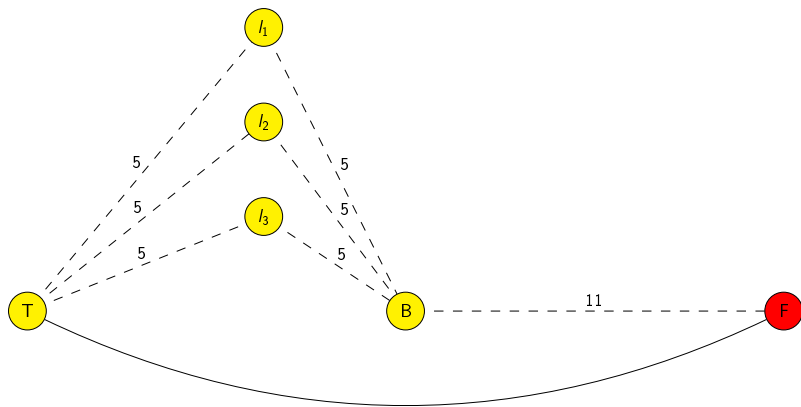
Transformation d'une clause en graphe (2)



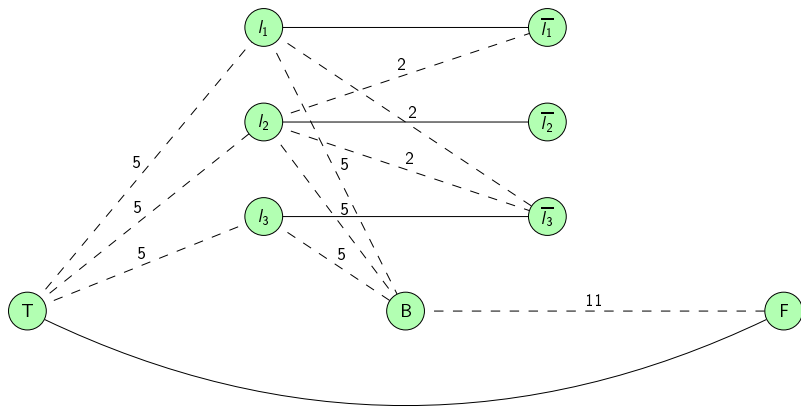
Transformation d'une clause en graphe (2)



Transformation d'une clause en graphe (2)



Transformation d'une clause en graphe (3)



Transformation d'une formule en graphe

Pour que les valeurs des littéraux soient cohérentes on ajoute p préférences dites **de cohérence** entre toutes les occurrences d'un même littéral, de poids $w = (30n + 1)$

Cohérence des valeurs des littéraux

Toute 2-coloration avec préférence optimale respecte les préférences de cohérence

Preuve

Si elles sont toutes respectées alors

$$v \geq p(30n + 1)$$

Si elles ne le sont pas alors

$$v \leq 30n + (p - 1)(30n + 1) = p(30n + 1) - 1$$

Réduction de 3-SAT vers la coloration avec préférences

La formule F est satisfiable si et seulement s'il existe une coloration avec préférence du graphe de valeur $v_{opt} = p(30n + 1) + 30n$

Preuve

- 1 Les cohérences rapportent $p(30n + 1)$ pour toute solution optimale
- 2 Le gain correspondant aux clauses est égal à $30x + 26(n - x)$, x étant le nombre de clauses satisfaites



Florent Bouchez, Alain Darte, Christophe Guillon, and Fabrice Rastello.
Register allocation and spill complexity under ssa.
Technical report, 2005.



Keith D. Cooper and L. Taylor Simpson.
Live range splitting in a graph coloring register allocator.
In *CC '98 : Proc. of the 7th Int. Conference on Compiler Construction*, pages 174–187, London, UK, 1998. Springer-Verlag.



Lal George and Andrew W. Appel.
Iterated register coalescing.
ACM Transactions On Programming Languages and Systems (TOPLAS), 18(3) :300–324, 1996.



Daniel Grund and Sebastian Hack.
A fast cutting-plane algorithm for optimal coalescing.
In *Compiler Construction, CC'07, Braga, Portugal*, volume 4420 of *Lecture Notes in Computer Science*, pages 111–125. Springer, 2007.



Sebastian Hack.
Interference Graphs of Programs in SSA Form.
Technical Report 2005-15, Universität Karlsruhe, June 2005.